

## Exercício 1

a)

Dada a relação de recorrência  $x_{n+1} = 4rx_n(1 - x_n)$  buscamos os pontos fixos e a estabilidade destes pontos. Pela definição de ponto fixo temos que:

$$x^* = 4rx^*(1 - x^*)$$

Claramente  $x^* = 0$  é uma solução. Além desta, temos que:

$$1 = 4r(1 - x^*)$$

$$x^* = 1 - \frac{1}{4r} \quad (1)$$

A estabilidade destes pontos fixos pode ser vista analisando o sinal de  $f'_r(r) = 4r - 8rx_n$ . Para  $x_n = 0$  temos que:

$$\begin{aligned} |f'_r(r)| &< 1 \\ -1 &< 4r < 1 \end{aligned}$$

$$0 < r < 1/4 \quad (2)$$

Onde substituímos a solução  $r > -1/4$  por  $r > 0$ , pois  $r$  não pode ser negativo.

Para  $x_n = 1 - \frac{1}{4r}$  temos:

$$\begin{aligned} |f'_r(r)| &< 1 \\ -1 &< -4r + 2 < 1 \\ \frac{1}{4} &< r < \frac{3}{4} \end{aligned} \quad (3)$$

Assim sendo, vemos que para  $r < 0.25$  temos que  $x^* = 0$  é um ponto fixo estável e que para  $0.25 < r < 0.75$  temos um ponto estável dependente de  $r$ , dado por  $x^* = 1 - \frac{1}{4r}$ .

b)

Para  $r = 0.24$ , temos que  $x_{esperado}^* = 0$  e  $x_{500} \approx 3.8 \times 10^{-11}$ . As trajetórias, mostradas na Figura 1, convergem para um mesmo valor próximo de zero, independente de  $x_0$ , como esperado pela análise feita anteriormente. O valor exato de  $x_{500}$  pode ser visto na saída de dados do programa na tela.

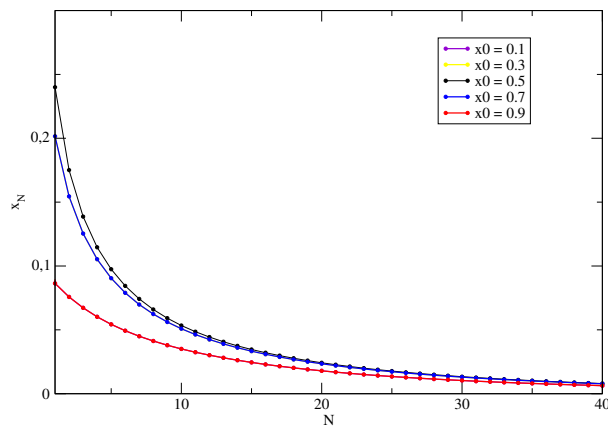


Figura 1: Trajetórias para  $r = 0.24$  para diferentes valores iniciais de  $x$ .

Para  $r = 0.26$ , temos que  $x_{esperado}^* \approx 3.8 \times 10^{-2}$  e  $x_{500} \approx 3.8 \times 10^{-2}$ , havendo divergência apenas na nona casa decimal. As trajetórias, mostradas na Figura 2, convergem para um mesmo valor pouco abaixo de  $5 \times 10^{-2}$ ,

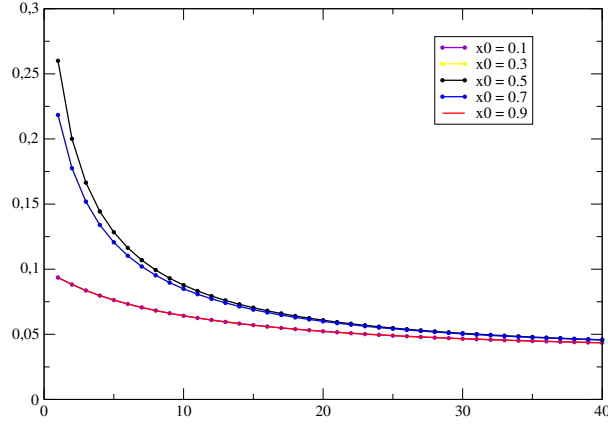


Figura 2: Trajetórias para  $r = 0.26$  para diferentes valores iniciais de  $x$ .

independente de  $x_0$ , como esperado pela análise feita anteriormente. Os valores exatos de  $x_{esperado}^*$  e  $x_{500}$  podem ser vistos na saída de dados do programa na tela.

Assim, verificamos que os resultados obtidos estão de acordo com a análise de estabilidade feita anteriormente. Para  $r < 0.25$  a trajetória se encaminha para perto de zero (que é o ponto fixo) independente do valor inicial (já que o ponto fixo é estável). Para  $r > 0.25$  a trajetória converge para um valor próximo de  $3.8 \times 10^{-2}$  (que é o ponto fixo) independente do valor inicial de  $x$  (já que é um ponto fixo estável).

c)

Foi mostrado anteriormente que para  $r$  entre 0.25 e 0.75 temos um ponto fixo estável dado por  $x^* = 1 - \frac{1}{4r}$ . Utilizando a variável auxiliar  $r' = 1/r$  temos que  $x^* = 1 - \frac{1}{4}r'$  para  $1.33 < r' < 4$ , ou seja, uma relação linear em  $r'$ . Os pontos fixos encontrados para diferentes  $r'$  estão no gráfico da Figura 3. Como esperado, há uma relação linear entre  $x^*$  e  $\frac{1}{r}$  neste intervalo de  $r$ .

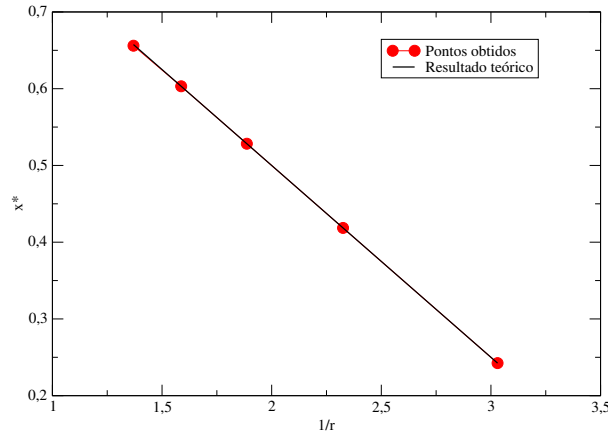


Figura 3:  $x^*$  em função de  $1/r$ .

d)

Para cada valor de  $(x_0, r)$  foi feito um gráfico da trajetória  $x_n$ . Com o gráfico original não é possível ver o valor exato do período, então foi feito um zoom em uma região arbitrária de modo a se verificar qual é este valor. Um exemplo disso está na Figura 4, onde vemos que o período é  $p = 2$ . Para os outros valores de  $(x_0, r)$  foi omitido o gráfico com zoom, visto que basta utilizar a ferramenta de zoom do programa usado pra fazer o gráfico.

O período obtido para  $x_0 = 0.1$  para todos os valores de  $r$  foram:

$$\begin{cases} p(0.85) = 2 \\ p(0.87) = 4 \\ p(0.89) = 8 \\ p(0.96) = 3 \end{cases}$$

Para  $x_0 = 0.9$  temos que os valores do período devem ser os mesmos, pois os valores de  $x_n$  são os mesmos para  $x_0 = 0.1$  e  $x_0 = 0.9$  para  $n > 0$ . O programa apresentou os mesmos resultados, como esperado; eles serão omitidos aqui visto que são idênticos aos apresentados, mas podem ser conferidos na pasta correspondente.

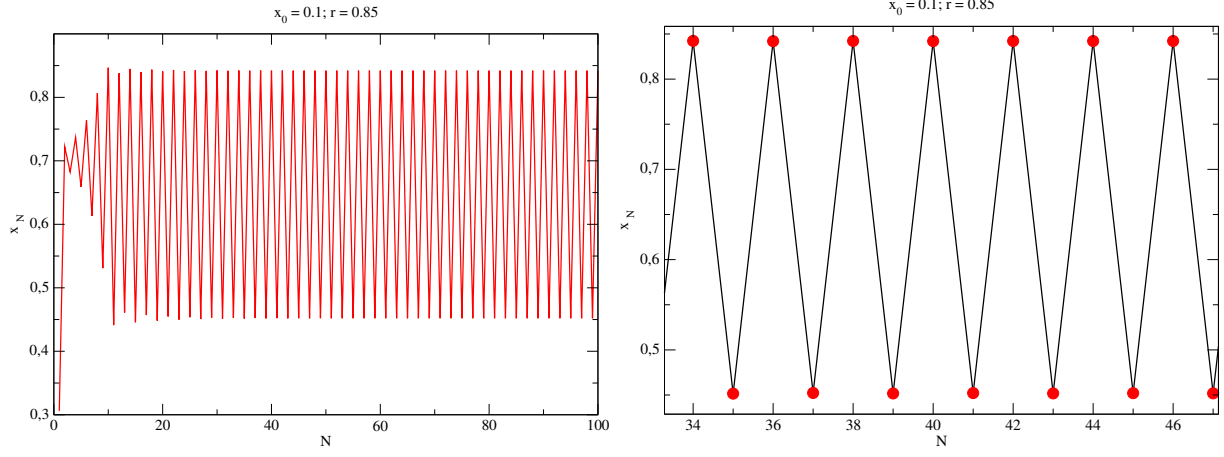


Figura 4: Resultado para  $x_0 = 0.1$  e  $r = 0.85$  (esquerda) e um zoom em uma região arbitrária para evidenciar o período (direita).

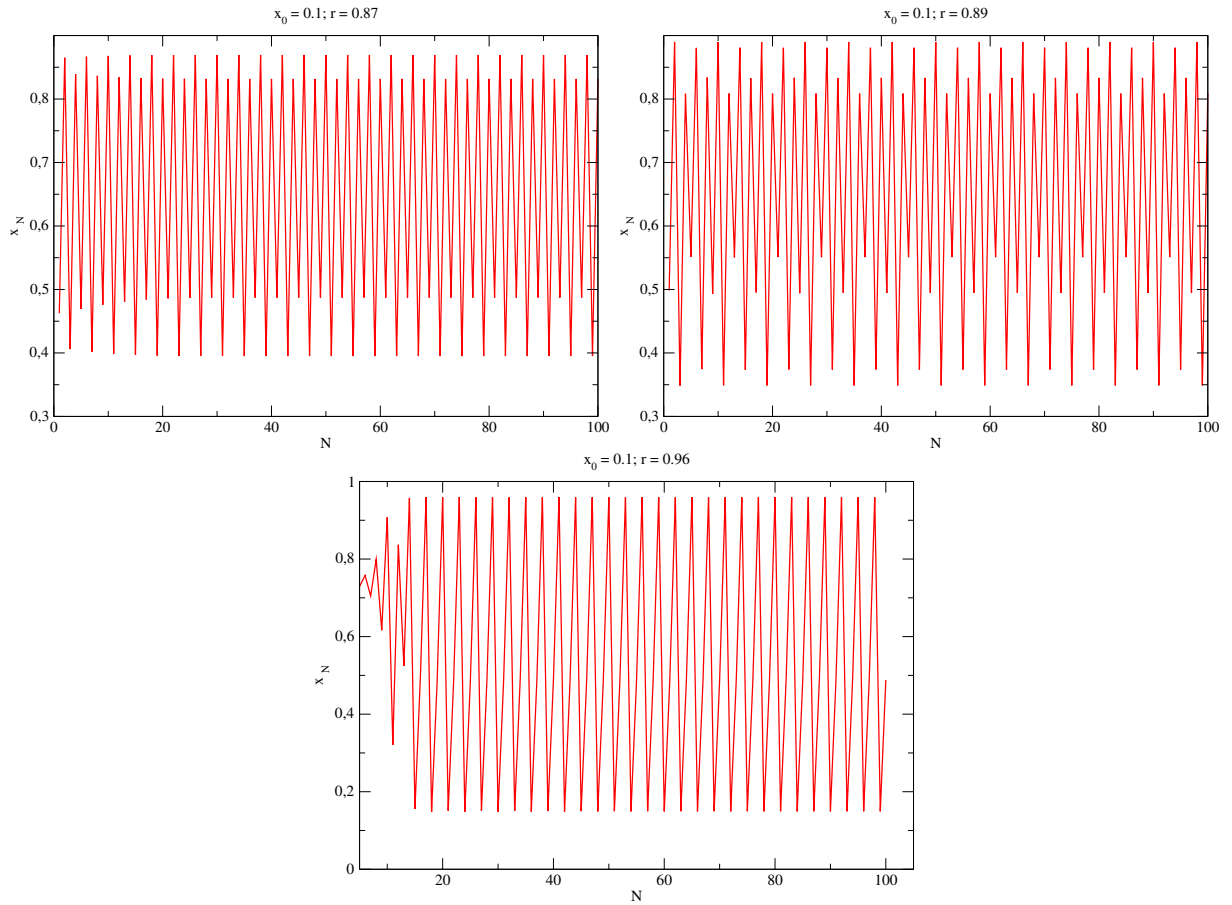


Figura 5: Trajetórias para  $x_0 = 0.1$  e  $r = 0.87$  (esquerda),  $r = 0.89$  (direita) e  $r = 0.96$  (embaixo). Note que todos apresentam uma solução oscilatória.

e)

O valor do expoente de Lyapunov obtido, arredondado para a segunda casa decimal, foi de  $\lambda_r = 0.20$ . Como  $\lambda_r > 0$  é esperado que as trajetórias sejam caóticas e portanto  $\Delta x$  deve crescer exponencialmente para  $N$  pequeno. O resultado pode ser visto na Figura 6. É possível perceber que para valores de  $N$  até 50 temos que  $\Delta x$ , em escala logarítmica, cresce (de maneira aproximada) linear com  $N$ , como esperado. Porém, para  $N$  acima de 75 temos o que parece ser um comportamento oscilatório em torno de  $\Delta x = 0.5$ .

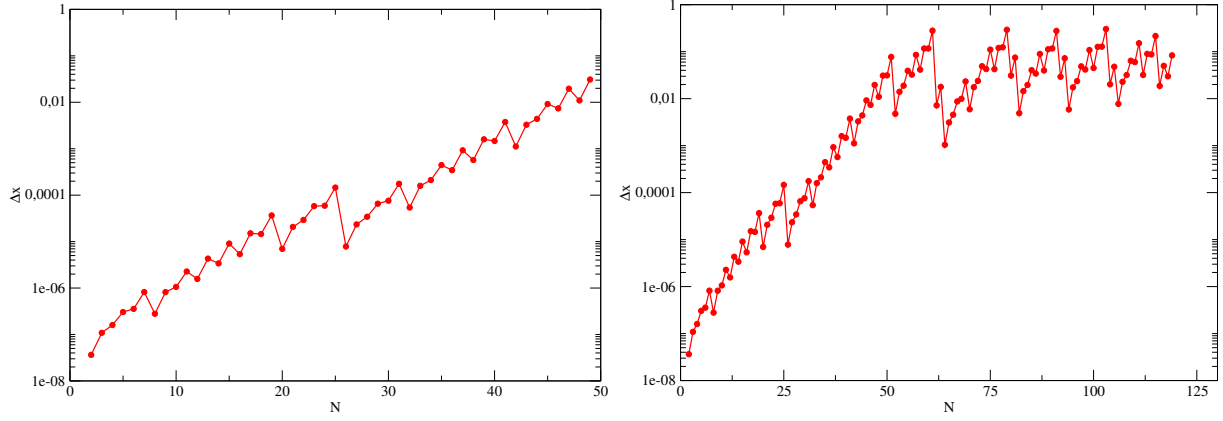


Figura 6:  $\Delta x$  para  $N$  até 50 (esquerda) e para  $N$  até 125.

f)

Os gráficos podem ser vistos na Figura 7. Foi feito um zoom na região  $0.7 < r < 1.0$  de modo a ficar claro a comparação com a referência [1].

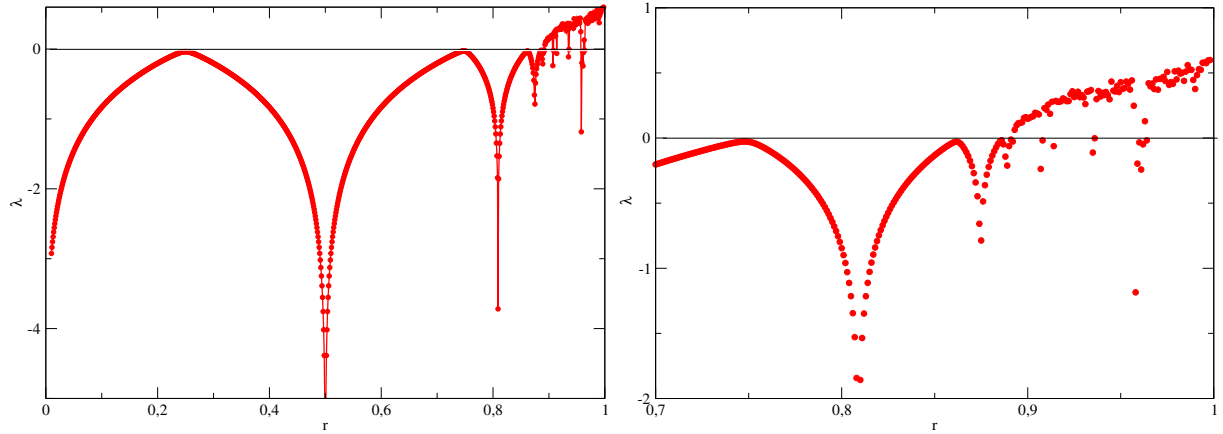


Figura 7:  $\lambda$  em função de  $r$  com  $r$  entre 0 e 1 (esquerda) e o mesmo gráfico com um zoom na região com  $r$  entre 0.7 e 1.0 (direita).

A análise do gráfico mostra que para qualquer valor de  $r < 0.85$  temos um coeficiente  $\lambda$  menor do que zero, fato coerente com os itens anteriores onde obtivemos trajetórias estáveis para todo  $r < 0.73$  e trajetórias instáveis para  $r > 0.85$ . O único ponto onde poderíamos ter problema é em  $r = 0.25$ , que possui um coeficiente  $\lambda = 0$ . Mas já sabíamos disto da análise de estabilidade feita no item a), pois  $r = 0.25$  faz com que os dois valores de  $x^*$  sejam marginais.

g)

Baseado na figura 7 foi feito um programa pra calcular qual valor de  $r$  faz com que  $\lambda$  seja o mais próximo de zero em quatro regiões distintas: em torno de 0.75, em torno de 0.85 e pra dois valores entre 0.85 e 0.90. Os valores encontrados estão apresentados na tabela 1. Os valores de  $r$  foram aproximados para a terceira casa decimal e o valor de  $\lambda$  associado foi arredondado para a primeira casa decimal. Caso um valor mais preciso seja necessario basta verificar a saída de dados do programa na tela.

$r$	$\lambda$
0.743	$2 \times 10^{-3}$
0.864	$9 \times 10^{-5}$
0.886	$1 \times 10^{-5}$
0.897	$4 \times 10^{-5}$

Tabela 1: Valores de  $r$  e  $\lambda$  encontrados

A comparação com a referência [1] mostra desvios a partir da terceira casa decimal, o que pode ser explicado ao se considerar que usamos um  $dr = 0.001$ . Além disso, a referência traz 5 outros valores de  $r$  entre 0.891 e 0.893,

que nosso programa é incapaz de calcular com um  $\Delta t$  tão grande. Foi feito um outro programa (tentativa2.f90) para corrigir este problema, mas não foram obtidos resultados satisfatórios devido a dificuldade de juntar a precisão necessária com a habilidade de excluir soluções inadequadas (como soluções próximas da solução correta exata, que ainda estão na margem de erro).

## Exercício 2

a)

Dada a relação  $f_r^1(\omega_i) = \omega_{i+1} = (1-r)\omega_i$  temos que o ponto fixo é dado por:

$$\omega^* = (1-r)\omega^* = 0 \quad (4)$$

Este ponto fixo é estável desde que:

$$\begin{aligned} |f_r^1(\omega_i)| &< 1 \\ -1 &< (r-1) < 1 \\ 0 &< h < 2\tau \end{aligned} \quad (5)$$

Na Figura 8 temos o resultado do cálculo da derivada com  $h \ll \tau$ . Foi escolhido  $h = \tau \times 10^{-5}$ . A solução exata e a solução numérica estão tão próximas que é impossível distingui-las uma da outra. Portanto foi escolhido plotar alguns pontos particulares da solução numérica, de modo a ficar claro o quanto bem a curva exata se ajusta aos pontos.

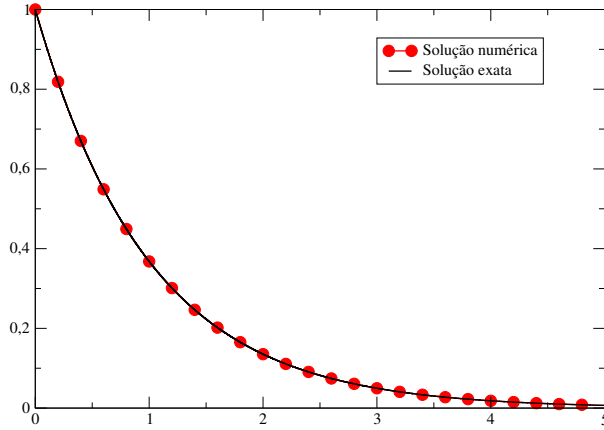


Figura 8: Derivada com  $h = 0.00001\tau$ .

Na Figura 9 temos os gráficos da derivada para vários valores de  $h = h_{max} \pm \epsilon$ , com  $\epsilon = 0.1$ . Podemos ver no gráfico da esquerda que para  $h = h_{max} + \epsilon$  a curva obtida diverge da curva exata com cada termo que é adicionado, ao passo que a curva da direita, apesar de não ser uma boa aproximação, tende a convergir para a curva exata com cada  $N$ .

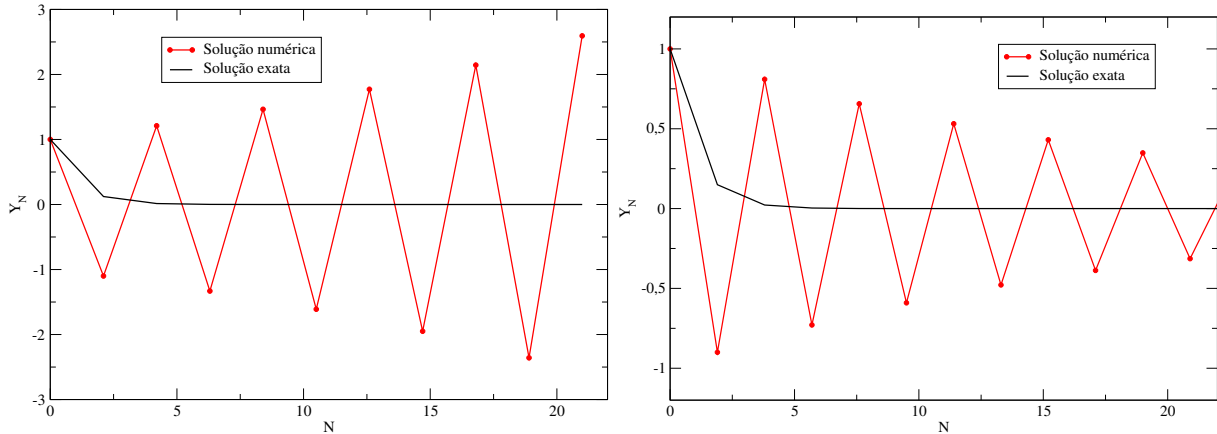


Figura 9: Derivada, com  $\epsilon = 0.1$ , para valores  $h = h_{max} + \epsilon$  (esquerda) e para valores  $h = h_{max} - \epsilon$  (direita)

Na Figura 10 foi feito o mesmo cálculo para um  $\epsilon = 0.5$ , o que torna a diferença entre as duas curvas mais evidente. No gráfico da esquerda é possível observar pelos valores do eixo y como a curva numérica se afasta da curva exata. Já no gráfico da direita vemos que a partir de  $N = 10$  temos que a curva numérica já se apresenta como aproximação razoável para a curva exata.

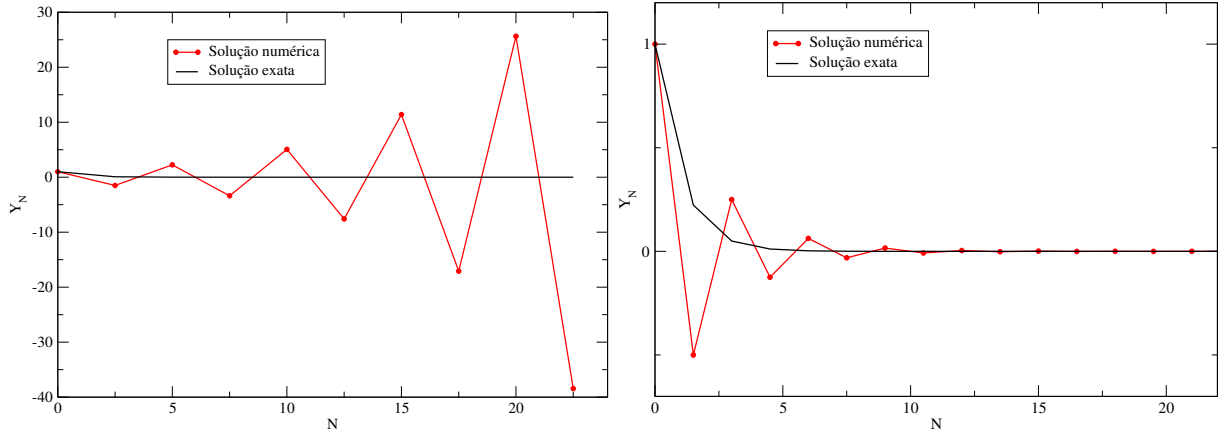


Figura 10: Derivada, com  $\epsilon = 0.5$ , para valores  $h = h_{max} + \epsilon$  (esquerda) e para valores  $h = h_{max} - \epsilon$  (direita)

Neste caso a matriz de amplificação  $\mathbf{G}$  é uma matriz 1x1 dada por:

$$\mathbf{G} = \frac{\partial T(x)}{\partial x} = (1 - r) \quad (6)$$

Cujo autovalor  $\lambda$  é dado pela equação:

$$(1 - r) - \lambda = 0 \Rightarrow \lambda = (1 - r) \quad (7)$$

A exigência de que  $|\lambda| < 1$  imediatamente reproduz a Eq. (5).

b)

Temos que

$$\begin{cases} \dot{x} = ax + by \\ \dot{y} = cx + dy \end{cases}$$

Utilizando o método de Euler podemos escrever esta equação da seguinte forma:

$$\begin{cases} w_{i+1}^x = f^x(w_i^x, w_i^y) = (ah + 1)w_i^x + (hb)w_i^y \\ w_{i+1}^y = f^y(w_i^x, w_i^y) = (dh + 1)w_i^y + (hc)w_i^x \end{cases} \quad (8)$$

O que nos dá uma matriz  $\mathbf{G}$  da forma:

$$\mathbf{G} = \begin{bmatrix} ah + 1 & hc \\ hb & dh + 1 \end{bmatrix}$$

Cujos autovalores são dados pela equação:

$$(1 + ah - \lambda)(dh + 1 - \lambda) - h^2bc = 0 \quad (9)$$

Fazendo  $a = 1$ ;  $b = 1$ ;  $c = 4$  e  $d = -2$  ficamos com:

$$\lambda^2 + (h - 2)\lambda + (-6h^2 - h + 1) = 0 \quad (10)$$

cujo discriminante é:

$$\Delta = (h^2 - 4h + 4 + 24h^2 + 4h - 4) = 25h^2$$

E portanto as soluções são:

$$\begin{cases} \lambda_1 = (1 + 2h) \\ \lambda_2 = (1 - 3h) \end{cases} \quad (11)$$

A estabilidade é dada por:

$$\begin{cases} -1 < (1 + 2h) < 1 \\ -1 < (1 - 3h) < 1 \end{cases} \quad (12)$$

$$\begin{cases} -1 < h < 0 \\ 0 < h < 2/3 \end{cases} \quad (13)$$

Ou seja, não existe valor de  $h$  que satisfaça as duas equações ao mesmo tempo. Para resolver numericamente foi escolhido  $h = 0.2$ , na faixa que permite solução estável para uma das equações, e  $h = -0.2$ , que permite solução estável para a outra equação. A solução para  $h = 0.2$  está na Figura 11.

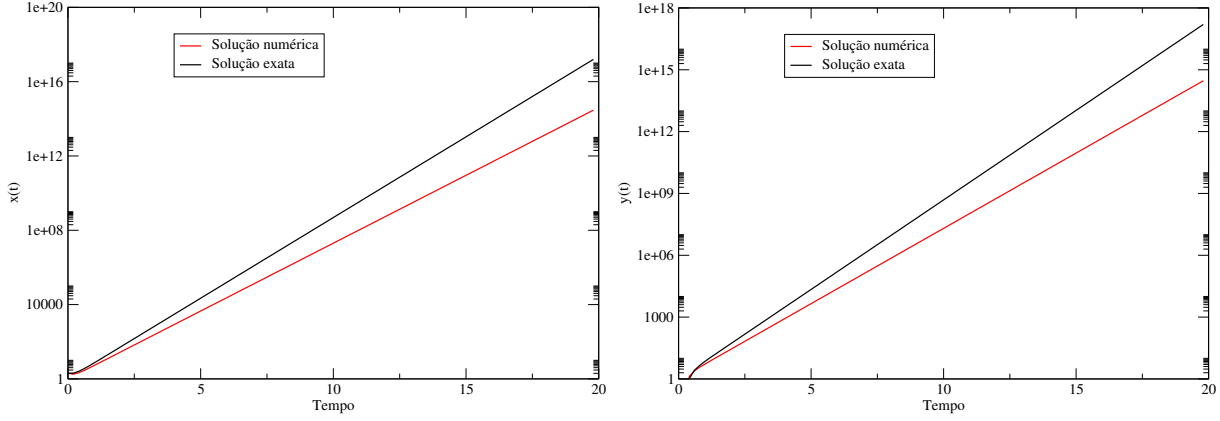


Figura 11: Solução da EDO acoplada para  $x$  (esquerda) e  $y$  (direita) com  $h = 0.2$ .

Como pode ser visto tanto a solução para  $x(t)$  quanto para  $y(t)$  divergem da solução exata com o passar do tempo. Alguém poderia argumentar que uma das soluções deveria convergir, visto que o parâmetro  $h$  é estável para ela, mas o fato das equações serem acopladas faz com que caso uma divirja a outra também deve divergir.

Na Figura 12 temos a mesma solução para o caso  $h = -0.2$ . Inverter o sinal de  $h$  fez com que a solução para  $y(t)$  invertesse o sinal e ficasse negativa, o que impossibilitou o gráfico ser feito em escala logaritmica.

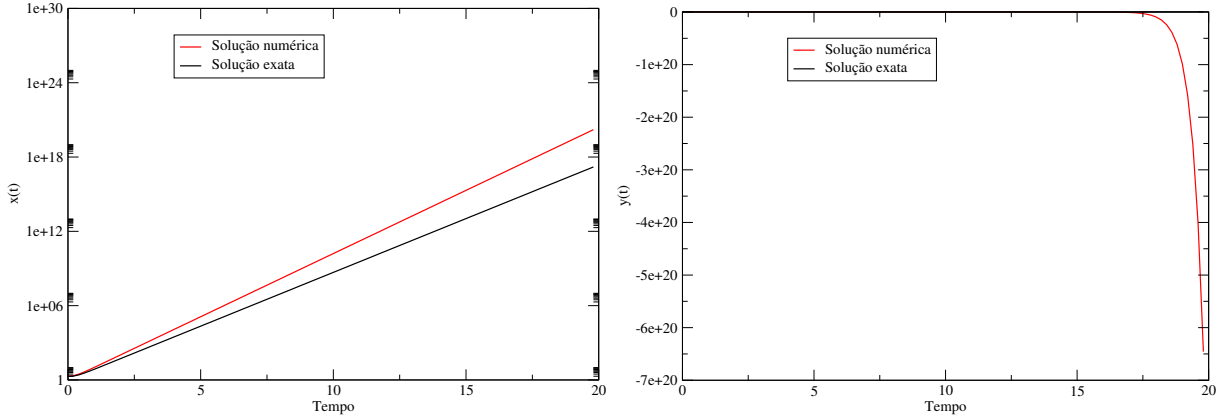


Figura 12: Solução da EDO acoplada para  $x$  (esquerda) e  $y$  (direita) com  $h = -0.2$ . A solução exata para  $y(t)$  é indistinguível da reta  $y = 0$  nesta escala.

### Exercício 3

a)

Na Figura 13 podemos ver o espaço de fase do oscilador harmônico para o conjunto de parâmetros pedidos.

b)

Na Figura 14 temos o espaço de fase para o outro conjunto de parâmetros. Trata-se de uma órbita que não é fechada, típica de sistemas caóticos. Ainda é possível ver a curva da Figura 13 quase como uma envoltória. Note que este

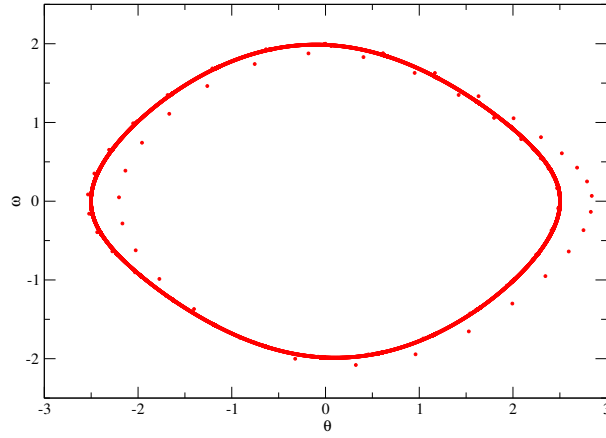


Figura 13: Espaço de fase para o oscilador harmônico com  $b = 0.9$ .

gráfico aparenta ter sido cortado em  $x = \pm 3$ , mas isto se deve ao fato de que pela dinâmica do problema temos que  $\theta$  está confinado no intervalo  $[-\pi, \pi]$ . No caso anterior a partícula não era capaz de ter uma amplitude maior que  $\pi$ , mas neste caso temos uma força externa maior e isto já é possível.

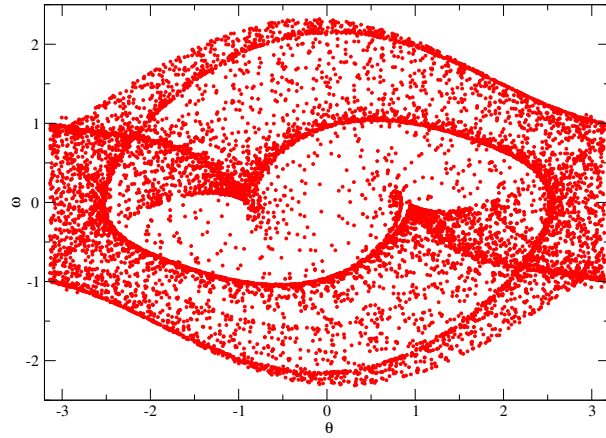


Figura 14: Espaço de fase para o oscilador com  $b = 1.15$ .

c)

Na Figura 15 temos o espaço de fase das duas situações anteriores plotados em conjunto com uma situação que possui configuração inicial próxima. Foi escolhido mudar a velocidade inicial de  $\omega = 2.00$  para  $\omega = 1.98$  e a posição inicial de  $x_0 = 0$  para  $x_0 = 0.01$ . Os gráficos, em especial do sistema não-caótico, são extremamente parecidos entre si, de modo que foi necessário omitir alguns pontos vermelhos para que os pontos pretos pudessem ser vistos; por isto que o gráfico da esquerda não apresenta uma linha vermelha contínua. Estes gráficos mostram que um deslocamento infinitesimal geram pequenas mudanças no espaço de fase.



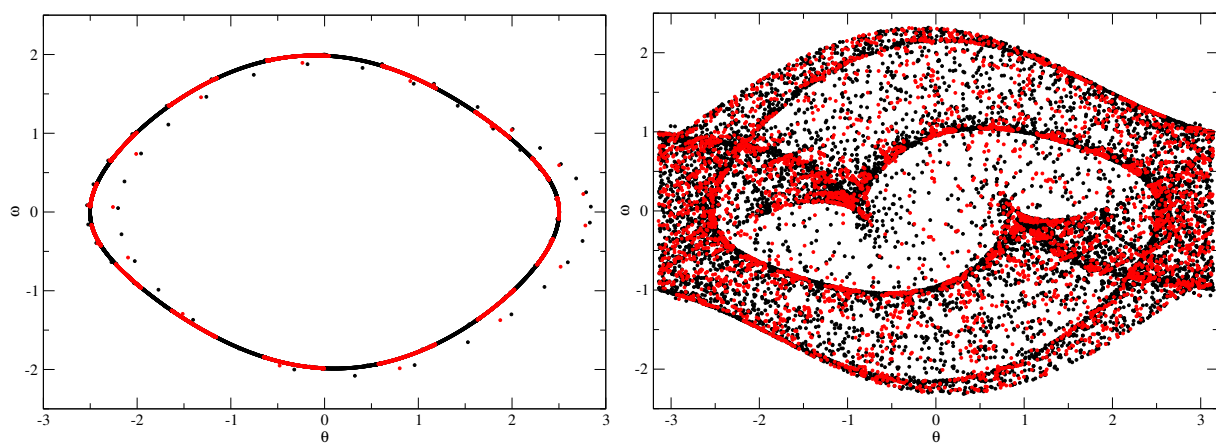


Figura 15: Espaço de fase para duas configurações iniciais próximas para  $b = 0.9$  (esquerda) e  $b = 1.15$  (direita). Alguns pontos vermelhos foram omitidos de modo a melhorar a visualização dos pontos pretos.